

Кластеризация и частичное обучение

К. В. Воронцов

vokov@forecsys.ru

Этот курс доступен на странице вики-ресурса

<http://www.MachineLearning.ru/wiki>

«Машинное обучение (курс лекций, К.В.Воронцов)»

11 мая 2017

1 Задачи кластеризации и частичного обучения

- Задача кластеризации без учителя
- Задача частичного обучения
- Оптимизационные постановки задач

2 Графовые и иерархические методы

- Графовые методы
- Алгоритм FOREL
- Иерархические методы

3 Частичное обучение на основе классификации

- Обёртки над методами классификации
- Трансдуктивный SVM
- Регуляризация правдоподобия

Постановка задачи кластеризации

Дано:

X — пространство объектов;

$X^\ell = \{x_1, \dots, x_\ell\}$ — обучающая выборка;

$\rho: X \times X \rightarrow [0, \infty)$ — функция расстояния между объектами.

Найти:

Y — множество кластеров,

$a: X \rightarrow Y$ — алгоритм кластеризации,

такие, что:

— каждый кластер состоит из близких объектов;

— объекты разных кластеров существенно различны.

Это задача обучения без учителя (*unsupervised learning*).

Некорректность задачи кластеризации

Решение задачи кластеризации принципиально неоднозначно:

- точной постановки задачи кластеризации нет;
- существует много критериев качества кластеризации;
- существует много эвристических методов кластеризации;
- число кластеров $|Y|$, как правило, неизвестно заранее;
- результат кластеризации сильно зависит от метрики ρ , выбор которой также является эвристикой.

Цели кластеризации

- Упростить дальнейшую обработку данных, разбить множество X^ℓ на группы схожих объектов чтобы работать с каждой группой в отдельности (задачи классификации, регрессии, прогнозирования).
- Сократить объём хранимых данных, оставив по одному представителю от каждого кластера (задачи сжатия данных).
- Выделить нетипичные объекты, которые не подходят ни к одному из кластеров (задачи одноклассовой классификации).
- Построить иерархию множества объектов (задачи таксономии).

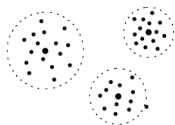
Типы кластерных структур



внутрикластерные расстояния, как правило,
меньше межкластерных



ленточные кластеры



кластеры с центром

Типы кластерных структур



кластеры могут соединяться перемычками



кластеры могут накладываться на разреженный фон из редко расположенных объектов



кластеры могут перекрываться

Типы кластерных структур



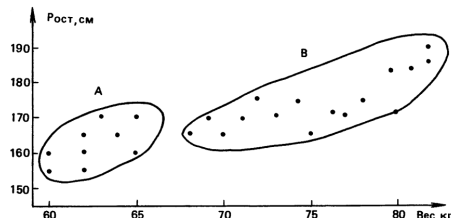
кластеры могут образовываться не по сходству, а по иным типам регулярностей

кластеры могут вообще отсутствовать

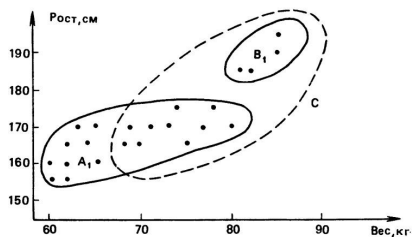
- Каждый метод кластеризации имеет свои ограничения и выделяет кластеры лишь некоторых типов.
- Понятие «тип кластерной структуры» зависит от метода и также не имеет формального определения.

Проблема чувствительности к выбору метрики

Результат зависит от нормировок признаков:



A — студентки,
B — студенты



после перенормировки
(сжали ось «вес» вдвое)

Постановка задачи частичного обучения

Дано:

множество объектов X , множество классов Y ;

$X^k = \{x_1, \dots, x_k\}$ — размеченные объекты (labeled data);
 $\{y_1, \dots, y_k\}$

$U = \{x_{k+1}, \dots, x_\ell\}$ — неразмеченные объекты (unlabeled data).

Два варианта постановки задачи:

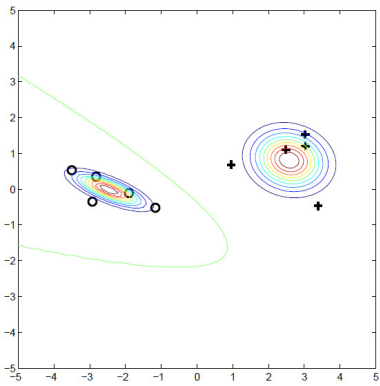
- *Частичное обучение* (semi-supervised learning):
построить алгоритм классификации $a: X \rightarrow Y$.
- *Трансдуктивное обучение* (transductive learning):
зная **все** $\{x_{k+1}, \dots, x_\ell\}$, получить метки $\{a_{k+1}, \dots, a_\ell\}$.

Типичные приложения:

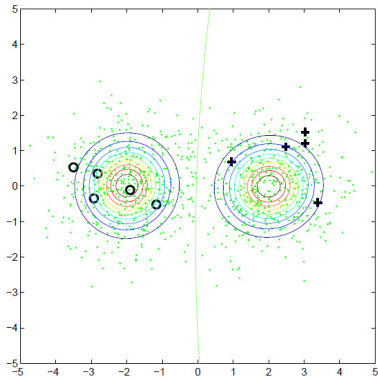
классификация и каталогизация текстов, изображений, и т. п.

SSL не сводится к классификации

Пример 1. плотности классов, восстановленные:
по размеченным данным X^k

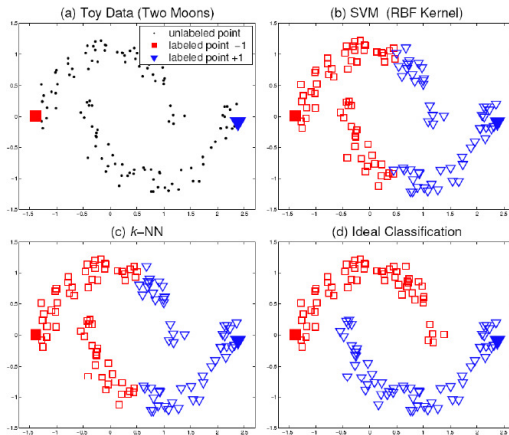


по полным данным X^l



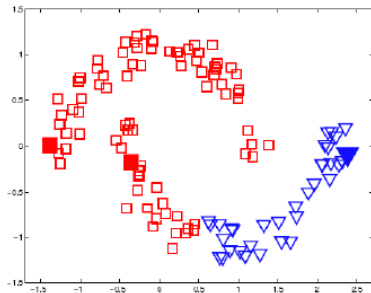
SSL не сводится к классификации

Пример 2. Методы классификации не учитывают кластерную структуру неразмеченных данных



Однако и к кластеризации SSL также не сводится

Пример 3. Методы кластеризации не учитывают приоритетность разметки над кластерной структурой.



Качество кластеризации в метрическом пространстве

- Среднее внутрикластерное расстояние:

$$F_0 = \frac{\sum_{i < j} [a_i = a_j] \rho(x_i, x_j)}{\sum_{i < j} [a_i = a_j]} \rightarrow \min.$$

- Среднее межкластерное расстояние:

$$F_1 = \frac{\sum_{i < j} [a_i \neq a_j] \rho(x_i, x_j)}{\sum_{i < j} [a_i \neq a_j]} \rightarrow \max.$$

- Отношение пары функционалов: $F_0/F_1 \rightarrow \min.$

Качество кластеризации в линейном векторном пространстве

Объекты x_i задаются векторами признаков $(f_1(x_i), \dots, f_n(x_i))$.

- Сумма средних внутрикластерных расстояний:

$$\Phi_0 = \sum_{a \in Y} \frac{1}{|X_a|} \sum_{i: a_i = a} \rho(x_i, \mu_a) \rightarrow \min,$$

$X_a = \{x_i \in X^\ell \mid a_i = a\}$ — кластер a ,

μ_a — центр масс кластера a .

- Сумма межкластерных расстояний:

$$\Phi_1 = \sum_{a, b \in Y} \rho(\mu_a, \mu_b) \rightarrow \max.$$

- Отношение пары функционалов: $\Phi_0 / \Phi_1 \rightarrow \min$.

Кластеризация как задача дискретной оптимизации

Веса на парах объектов (близости): $w_{ij} = \exp(-\beta\rho(x_i, x_j))$,
где $\rho(x, x')$ — расстояние между объектами, β — параметр.

Задача кластеризации: найти метки кластеров a_i :

$$\sum_{i=1}^{\ell} \sum_{j=i+1}^{\ell} w_{ij} [a_i \neq a_j] \rightarrow \min_{\{a_i \in Y\}} .$$

Задача частичного обучения:

$$\sum_{i=1}^{\ell} \sum_{j=i+1}^{\ell} w_{ij} [a_i \neq a_j] + \lambda \sum_{i=1}^k [a_i \neq y_i] \rightarrow \min_{\{a_i \in Y\}} .$$

где λ — ещё один параметр.

Метод K -средних (K -means) для кластеризации

Минимизация суммы квадратов внутрикластерных расстояний:

$$\sum_{i=1}^{\ell} \|x_i - \mu_{a_i}\|^2 \rightarrow \min_{\{a_i\}, \{\mu_a\}}, \quad \|x_i - \mu_a\|^2 = \sum_{j=1}^n (f_j(x_i) - \mu_{aj})^2$$

Алгоритм Ллойда, упрощённый аналог EM-алгоритма.

Вход: X^ℓ , $K = |Y|$. **Выход:** центры μ_a , $a \in Y$

1: $\mu_a :=$ начальное приближение центров, для всех $a \in Y$;

2: **повторять**

3: **E-шаг:** отнести каждый x_i к ближайшему центру:

$$a_i := \arg \min_{a \in Y} \|x_i - \mu_a\|, \quad i = 1, \dots, \ell;$$

4: **M-шаг:** вычислить новые положения центров:

$$\mu_{aj} := \frac{\sum_{i=1}^{\ell} [a_i = a] x_i}{\sum_{i=1}^{\ell} [a_i = a]}, \quad a \in Y;$$

5: **пока** a_i не перестанут изменяться;

Метод K -средних для частичного обучения

Модификация алгоритма Ллойда
при наличии размеченных объектов $\{x_1, \dots, x_k\}$

Вход: X^ℓ , $K = |Y|$. **Выход:** центры μ_a , $a \in Y$

1: $\mu_a :=$ начальное приближение центров, для всех $a \in Y$;

2: **повторять**

3: **E-шаг:**

отнести каждый $x_i \in U$ к ближайшему центру:

$$a_i := \arg \min_{a \in Y} \rho(x_i, \mu_a), \quad i = k + 1, \dots, \ell;$$

4: **M-шаг:**

вычислить новые положения центров:

$$\mu_{aj} := \frac{\sum_{i=1}^{\ell} [a_i = a] x_i}{\sum_{i=1}^{\ell} [a_i = a]}, \quad a \in Y;$$

5: **пока** a_i не перестанут изменяться;

Алгоритм КНП для кластеризации

Графовый алгоритм КНП (кратчайший незамкнутый путь)

- 1: Найти пару вершин $(x_i, x_j) \in X^\ell$ с наименьшим $\rho(x_i, x_j)$ и соединить их ребром;
- 2: **пока** в выборке остаются изолированные точки
- 3: найти изолированную точку,
 близкую к некоторой неизолированной;
- 4: соединить эти две точки ребром;
- 5: удалить $K - 1$ самых длинных рёбер;

Ограничения алгоритма:

- необходимость задавать число кластеров K
- высокая чувствительность к шуму

Алгоритм КНП для частичного обучения

Графовый алгоритм КНП (кратчайший незамкнутый путь)

- 1: Найти пару вершин $(x_i, x_j) \in X^\ell$ с наименьшим $\rho(x_i, x_j)$ и соединить их ребром;
- 2: **пока** в выборке остаются изолированные точки
- 3: найти изолированную точку,
 близкую к некоторой неизолированной;
- 4: соединить эти две точки ребром;
- 5: ~~удалить $K - 1$ самых длинных рёбер;~~
- 6: **пока** есть путь между двумя вершинами разных классов
- 7: удалить самое длинное ребро на этом пути.

Задача частичного обучения: изменяется только шаг 5...

Алгоритм кластеризации FOREL (ФОРмальные ЭЛементы)

- 1: $U := X^\ell$ — множество некластеризованных точек;
- 2: **пока** в выборке есть некластеризованные точки, $U \neq \emptyset$:
- 3: взять случайную точку $x_0 \in U$;
- 4: **повторять**
 - 5: образовать кластер с центром в x_0 и радиусом R :
 $K_0 := \{x_i \in U \mid \rho(x_i, x_0) \leq R\}$;
 - 6: переместить центр x_0 в центр масс кластера:
$$x_0 := \frac{1}{|K_0|} \sum_{x_i \in K_0} x_i$$
;
- 7: **пока** состав кластера K_0 не стабилизируется;
- 8: $U := U \setminus K_0$;
- 9: применить алгоритм КНП к множеству центров кластеров;
- 10: каждый $x_i \in X^\ell$ приписать кластеру с ближайшим центром;

Ёлкина В.Н., Ёлкин Е.А. Загоруйко Н.Г. О применении методики
распознавания образов к решению задач палеонтологии. 1967.

Замечание к шагу 6:

если X не является линейным векторным пространством, то

$$x_0 := \frac{1}{|K_0|} \sum_{x_i \in K_0} x_i \quad \longrightarrow \quad x_0 := \arg \min_{x \in K_0} \sum_{x' \in K_0} \rho(x, x');$$

Преимущества FOREL:

- получаем двухуровневую структуру кластеров;
- кластеры могут быть произвольной формы;
- варьируя R , можно управлять детальностью кластеризации.

Недостаток FOREL:

- чувствительность к R и начальному выбору точки x_0 .

Способ устранения:

сгенерировать несколько кластеризаций и
выбрать лучшую по критерию качества кластеризации.

Агломеративная иерархическая кластеризация

Алгоритм иерархической кластеризации (Ланс, Уильямс, 1967):
итеративный пересчёт расстояний R_{UV} между кластерами U, V .

- 1: $C_1 := \{\{x_1\}, \dots, \{x_\ell\}\}$ — все кластеры 1-элементные;
 $R_{\{x_i\}\{x_j\}} := \rho(x_i, x_j)$ — расстояния между ними;
- 2: **для всех** $t = 2, \dots, \ell$ (t — номер итерации):
 - 3: найти в C_{t-1} пару кластеров (U, V) с минимальным R_{UV} ;
 - 4: слить их в один кластер:
 $W := U \cup V$;
 $C_t := C_{t-1} \cup \{W\} \setminus \{U, V\}$;
 - 5: **для всех** $S \in C_t$
 - 6: вычислить R_{WS} по формуле Ланса-Уильямса:
$$R_{WS} := \alpha_U R_{US} + \alpha_V R_{VS} + \beta R_{UV} + \gamma |R_{US} - R_{VS}|;$$

Алгоритм Ланса-Уильямса для частичного обучения

Алгоритм иерархической кластеризации (Ланс, Уильямс, 1967):
итеративный пересчёт расстояний R_{UV} между кластерами U, V .

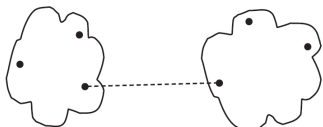
- 1: $C_1 := \{\{x_1\}, \dots, \{x_\ell\}\}$ — все кластеры 1-элементные;
 $R_{\{x_i\}\{x_j\}} := \rho(x_i, x_j)$ — расстояния между ними;
- 2: **для всех** $t = 2, \dots, \ell$ (t — номер итерации):
 - 3: найти в C_{t-1} пару кластеров (U, V) с минимальным R_{UV} ,
при условии, что в $U \cup V$ нет объектов с разными метками;
 - 4: слить их в один кластер:
 $W := U \cup V$;
 $C_t := C_{t-1} \cup \{W\} \setminus \{U, V\}$;
 - 5: **для всех** $S \in C_t$
вычислить R_{WS} по формуле Ланса-Уильямса:
 $R_{WS} := \alpha_U R_{US} + \alpha_V R_{VS} + \beta R_{UV} + \gamma |R_{US} - R_{VS}|$;

Частные случаи формулы Ланса-Уильямса

1. Расстояние ближнего соседа:

$$R_{WS}^b = \min_{w \in W, s \in S} \rho(w, s);$$

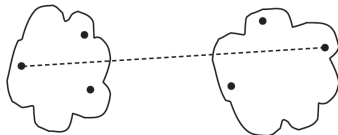
$$\alpha_U = \alpha_V = \frac{1}{2}, \quad \beta = 0, \quad \gamma = -\frac{1}{2}.$$



2. Расстояние дальнего соседа:

$$R_{WS}^d = \max_{w \in W, s \in S} \rho(w, s);$$

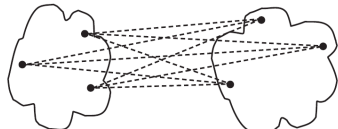
$$\alpha_U = \alpha_V = \frac{1}{2}, \quad \beta = 0, \quad \gamma = \frac{1}{2}.$$



3. Групповое среднее расстояние:

$$R_{WS}^g = \frac{1}{|W||S|} \sum_{w \in W} \sum_{s \in S} \rho(w, s);$$

$$\alpha_U = \frac{|U|}{|W|}, \quad \alpha_V = \frac{|V|}{|W|}, \quad \beta = \gamma = 0.$$



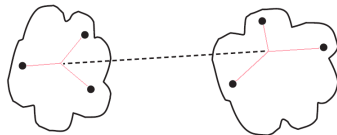
Частные случаи формулы Ланса-Уильямса

4. Расстояние между центрами:

$$R_{WS}^u = \rho^2 \left(\sum_{w \in W} \frac{w}{|W|}, \sum_{s \in S} \frac{s}{|S|} \right);$$

$$\alpha_U = \frac{|U|}{|W|}, \quad \alpha_V = \frac{|V|}{|W|},$$

$$\beta = -\alpha_U \alpha_V, \quad \gamma = 0.$$



5. Расстояние Уорда:

$$R_{WS}^y = \frac{|S||W|}{|S|+|W|} \rho^2 \left(\sum_{w \in W} \frac{w}{|W|}, \sum_{s \in S} \frac{s}{|S|} \right);$$

$$\alpha_U = \frac{|S|+|U|}{|S|+|W|}, \quad \alpha_V = \frac{|S|+|V|}{|S|+|W|}, \quad \beta = \frac{-|S|}{|S|+|W|}, \quad \gamma = 0.$$

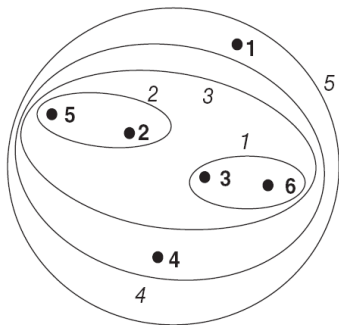
Проблема выбора

Какая функция расстояния лучше?

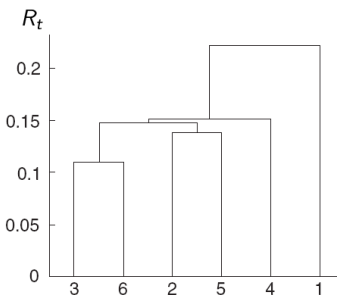
Визуализация кластерной структуры

1. Расстояние ближнего соседа:

Диаграмма вложения



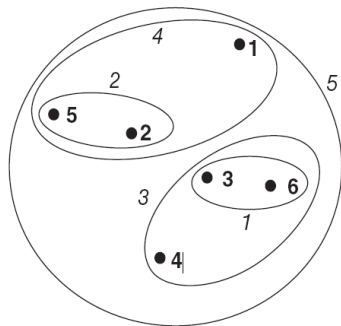
Дендрограмма



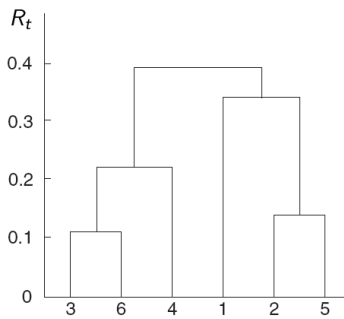
Визуализация кластерной структуры

2. Расстояние дальнего соседа:

Диаграмма вложения



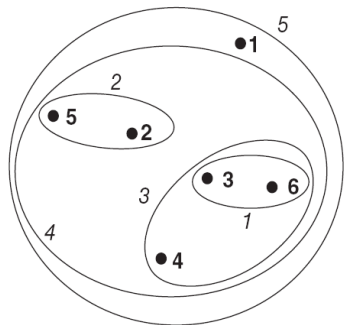
Дендрограмма



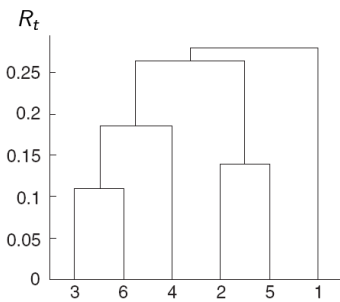
Визуализация кластерной структуры

3. Групповое среднее расстояние:

Диаграмма вложения



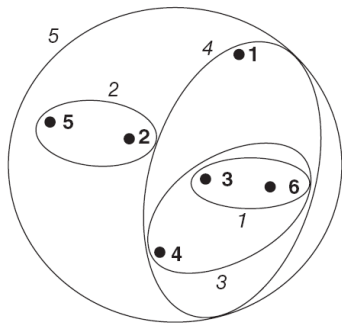
Дендрограмма



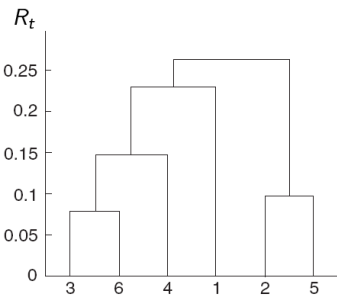
Визуализация кластерной структуры

5. Расстояние Уорда:

Диаграмма вложения



Дендрограмма



Основные свойства иерархической кластеризации

- *Монотонность:* дендрограмма не имеет самопересечений, при каждом слиянии расстояние между объединяемыми кластерами только увеличивается: $R_2 \leq R_3 \leq \dots \leq R_\ell$.

Теорема (Миллиган, 1979)

Достаточное условие монотонности:

$$\alpha_U \geq 0, \quad \alpha_V \geq 0, \quad \alpha_U + \alpha_V + \beta \geq 1, \quad \min\{\alpha_U, \alpha_V\} + \gamma \geq 0.$$

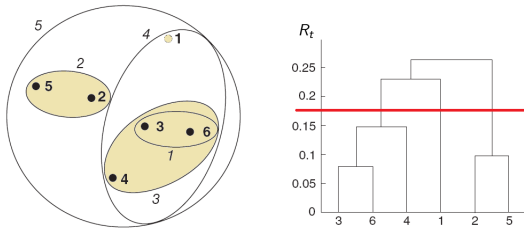
- *Сжимающее расстояние:* $R_t \leq \rho(\mu_U, \mu_V), \quad \forall t$.
- *Растягивающее расстояние:* $R_t \geq \rho(\mu_U, \mu_V), \quad \forall t$

R^C не монотонно; R^6, R^A, R^Γ, R^Y — монотонны.

R^6 — сжимающее; R^A, R^Y — растягивающие;

Рекомендации и выводы

- рекомендуется пользоваться расстоянием Уорда R^y ;
- обычно строят несколько вариантов и выбирают лучший визуально по дендрограмме;
- определение числа кластеров — по максимуму $|R_{t+1} - R_t|$, тогда результирующее множество кластеров := C_t .



Метод self-training (1965-1970)

Пусть $\mu: X^k \rightarrow a$ — метод обучения классификации;
классификаторы имеют вид $a(x) = \arg \max_{y \in Y} \Gamma_y(x)$;

Псевдоотступ — степень уверенности классификации $a_i = a(x_i)$:

$$M_i(a) = \Gamma_{a_i}(x_i) - \max_{y \in Y \setminus a_i} \Gamma_y(x_i).$$

Алгоритм self-training — обёртка (wrapper) над методом μ :

- 1: $Z := X^k$;
- 2: **пока** $|Z| < \ell$
- 3: $a := \mu(Z)$;
- 4: $\Delta := \{x_i \in U \setminus Z \mid M_i(a) \geq M_0\}$;
- 5: $a_i := a(x_i)$ для всех $x_i \in \Delta$;
- 6: $Z := Z \cup \Delta$;

M_0 можно определять, например, из условия $|\Delta| = 0.05 |U|$

Метод co-training (Blum, Mitchell, 1998)

Пусть $\mu_1: X^k \rightarrow a_1$, $\mu_2: X^k \rightarrow a_2$ — два существенно различных метода обучения, использующих

- либо разные наборы признаков;
- либо разные парадигмы обучения (inductive bias);
- либо разные источники данных $X_1^{k_1}$, $X_2^{k_2}$.

- 1: $Z_1 := X_1^{k_1}$; $Z_2 := X_2^{k_2}$;
- 2: **пока** $|Z_1 \cup Z_2| < \ell$
- 3: $a_1 := \mu_1(Z_1)$; $\Delta_1 := \{x_i \in U \setminus Z_1 \setminus Z_2 \mid M_i(a_1) \geq M_{01}\}$;
- 4: $a_i := a_1(x_i)$ для всех $x_i \in \Delta_1$;
- 5: $Z_2 := Z_2 \cup \Delta_1$;
- 6: $a_2 := \mu_2(Z_2)$; $\Delta_2 := \{x_i \in U \setminus Z_1 \setminus Z_2 \mid M_i(a_2) \geq M_{02}\}$;
- 7: $a_i := a_2(x_i)$ для всех $x_i \in \Delta_2$;
- 8: $Z_1 := Z_1 \cup \Delta_2$;

Метод co-learning (deSa, 1993)

Пусть $\mu_t: X^k \rightarrow a_t$ — разные методы обучения, $t = 1, \dots, T$.

Алгоритм co-learning — это self-training для композиции — простого голосования базовых алгоритмов a_1, \dots, a_T :

$$a(x) = \arg \max_{y \in Y} \Gamma_y(x), \quad \Gamma_y(x_i) = \sum_{t=1}^T [a_t(x_i) = y].$$

тогда $M_i(a)$ — степень уверенности классификации $a(x_i)$.

- 1: $Z := X^k$;
- 2: **пока** $|Z| < \ell$
- 3: $a := \mu(Z)$;
- 4: $\Delta := \{x_i \in U \setminus Z \mid M_i(a) \geq M_0\}$;
- 5: $a_i := a(x_i)$ для всех $x_i \in \Delta$;
- 6: $Z := Z \cup \Delta$;

SVM: классификация

Линейный классификатор на два класса $Y = \{-1, 1\}$:

$$a(x) = \text{sign}(\langle w, x \rangle - w_0), \quad w, x \in \mathbb{R}^n, \quad w_0 \in \mathbb{R}.$$

Отступ объекта x_i :

$$M_i(w, w_0) = (\langle w, x_i \rangle - w_0)y_i.$$

Задача обучения весов w, w_0 по размеченной выборке:

$$Q(w, w_0) = \sum_{i=1}^k (1 - M_i(w, w_0))_+ + \frac{1}{2C} \|w\|^2 \rightarrow \min_{w, w_0}.$$

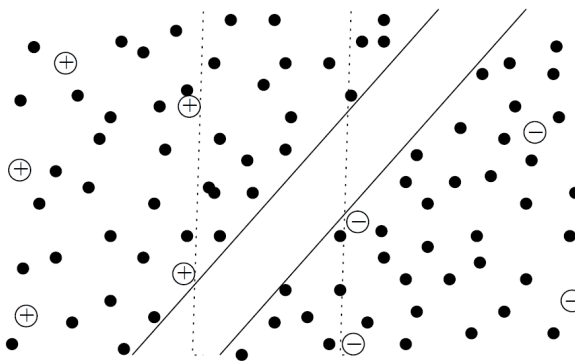
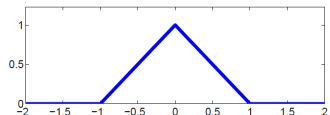
Функция $\mathcal{L}(M) = (1 - M)_+$ штрафует за уменьшение отступа.

Идея!

Функция $\mathcal{L}(M) = (1 - |M|)_+$ штрафует за попадание объекта внутрь разделяющей полосы.

Функция потерь для трансдуктивного SVM

Функция потерь $\mathcal{L}(M) = (1 - |M|)_+$
штрафует за попадание объекта
внутрь разделяющей полосы.



Transductive SVM: частичное обучение

Обучение весов w, w_0 по частично размеченной выборке:

$$Q(w, w_0) = \sum_{i=1}^k (1 - M_i(w, w_0))_+ + \frac{1}{2C} \|w\|^2 + \\ + \gamma \sum_{i=k+1}^{\ell} (1 - |M_i(w, w_0)|)_+ \rightarrow \min_{w, w_0} .$$

Достоинства и недостатки TSVM:

- ⊕ как и в обычном SVM, можно использовать ядра;
- ⊕ имеются эффективные реализации для больших данных;
- ⊖ задача невыпуклая, методы оптимизации сложнее;
- ⊖ решение неустойчиво, если нет области разреженности;
- ⊖ требуется настройка двух параметров C, γ ;

Многоклассовая логистическая регрессия

Линейный классификатор по конечному множеству классов $|Y|$:

$$a(x) = \arg \max_{y \in Y} \langle w_y, x \rangle, \quad x, w_y \in \mathbb{R}^n.$$

Вероятность того, что объект x_i относится к классу y :

$$P(y|x_i, w) = \frac{\exp \langle w_y, x_i \rangle}{\sum_{c \in Y} \exp \langle w_c, x_i \rangle}.$$

Задача максимизации регуляризованного правдоподобия:

$$Q(w) = \sum_{i=1}^k \log P(y_i|x_i, w) - \frac{1}{2C} \sum_{y \in Y} \|w_y\|^2 \rightarrow \max_w,$$

Оптимизация $Q(w)$ — методом стохастического градиента.

Логистическая регрессия с частичным обучением

Теперь учтём неразмеченные данные $U = \{x_{k+1}, \dots, x_\ell\}$.
Пусть $b_j(x)$ — бинарные признаки, $j = 1, \dots, m$.

Оценим вероятности $P(y|b_j(x) = 1)$ двумя способами:

1) эмпирическая оценка по размеченным данным X^k :

$$\hat{p}_j(y) = \frac{\sum_{i=1}^k b_j(x_i)[y_i = y]}{\sum_{i=1}^k b_j(x_i)};$$

2) оценка по неразмеченным данным U и линейной модели:

$$p_j(y|w) = \frac{\sum_{i=k+1}^\ell b_j(x_i)P(y|x_i, w)}{\sum_{i=k+1}^\ell b_j(x_i)}.$$

Будем минимизировать дивергенцию Кульбака–Лейблера между распределениями $\hat{p}_j(y)$ и $p_j(y|w)$.

Построение функционала качества

Минимизация KL-дивергенции между $\hat{p}_j(y)$ и $p_j(y|w)$:

$$KL(\hat{p}_j(y) \parallel p_j(y|w)) = \sum_y \hat{p}_j(y) \log \frac{\hat{p}_j(y)}{p_j(y|w)} \rightarrow \min_w.$$

Вычтем сумму KL-дивергенций по всем признакам $j = 1, \dots, m$ из функционала регуляризованного правдоподобия $Q(w)$, с коэффициентом регуляризации γ :

$$\begin{aligned} \tilde{Q}(w) &= \sum_{i=1}^k \log P(y_i|x_i, w) - \frac{1}{2C} \sum_{y \in Y} \|w_y\|^2 + \\ &+ \gamma \sum_{j=1}^m \sum_{y \in Y} \hat{p}_j(y) \log \left(\frac{\sum_{i=k+1}^\ell b_j(x_i) P(y|x_i, w)}{\sum_{i=k+1}^\ell b_j(x_i)} \right) \rightarrow \max_w. \end{aligned}$$

Mann, McCallum. Simple, robust, scalable semi-supervised learning via expectation regularization. ICML 2007.

Особенности регуляризации для частичного обучения

- ❶ Оптимизация $\tilde{Q}(w)$ — методом стохастического градиента.
- ❷ Возможные варианты задания переменных b_j :
 - $b_j(x) \equiv 1$, тогда $P(y|b_j(x) = 1)$ — априорная вероятность класса y (label regularization) — хорошо подходит для задач с несбалансированными классами;
 - $b_j(x) = [$ термин j содержится в тексте x $]$ — для задач классификации и каталогизации текстов.
- ❸ метод слабо чувствителен к выбору C и γ ,
- ❹ устойчив к погрешностям оценивания $\hat{p}_j(y)$,
- ❺ не требует большого числа размеченных объектов k ,
- ❻ хорошо подходит для категоризации текстов.

Mann, McCallum. Simple, robust, scalable semi-supervised learning via expectation regularization. ICML 2007.

Резюме в конце лекции

- Кластеризация — это обучение без учителя, некорректно поставленная задача, существует много критериев и эвристических алгоритмов кластеризации
- Задача SSL занимает промежуточное положение между классификацией и кластеризацией, но не сводится к ним.
- Методы кластеризации легко адаптируются к SSL путём введения ограничений (*constrained clustering*).
- Адаптация методов классификации реализуется сложнее, но приводит к более эффективным методам.
- Регуляризация позволяет учитывать дополнительную информацию в постановке оптимизационной задачи.